

**В.В.Рубцов**

(Московский государственный строительный университет;  
e-mail: rubvall@yandex.ru

## **ЧИСЛЕННОЕ МОДЕЛИРОВАНИЕ НЕСТАЦИОНАРНОГО РАДИАЦИОННО-КОНДУКТИВНОГО ТЕПЛООБМЕНА В МНОГОСЛОЙНОЙ СФЕРИЧЕСКОЙ СИСТЕМЕ**

*Предложен новый подход к численному моделированию нестационарного радиационно-кондуктивного теплообмена в системе, ограниченной многослойным теплопроводным телом сферической формы и заполненной поглощающей и рассеивающей средой. Изложенный материал может быть использован для решения актуальных проблем обеспечения пожарной безопасности.*

*Ключевые слова: радиационно-кондуктивный теплообмен, поглощающая и рассеивающая среда, коэффициент теплопроводности.*

**V.V. Rubtsov**

## **NUMERICAL MODELING OF UNSTEADY RADIATIVE-CONDUCTIVE HEAT TRANSFER IN MULTI-LAYERED SPHERICAL SYSTEM**

*The new approach to the numerical modeling of unsteady radiative-conductive heat transfer in the system bounded multi-layered thermally conductive body of spherical shape and filled with an absorbing and scattering medium. The material described can be used to solve actual problems related to fire safety.*

*Key words: radiative-conductive heat transfer, absorbing and scattering medium, coefficient of thermal conductivity.*

Статья поступила в редакцию Интернет-журнала 3 июня 2015 г.

Рассматриваются три постановки задачи, характеризующиеся различными типами граничных условий, заданных на внешней границе системы.

**Первая постановка задачи.** Пусть имеется теплопроводное тело сферической формы без источников (стоков) тепла, ограниченное поверхностями  $F_0, F_n$  и состоящее из  $n$  слоёв  $V_k : V = V_1 + V_2 + \dots + V_n$ . Примем, что контакт между слоями  $V_k$  и  $V_{k+1}$ ,  $k = 1, 2, \dots, n-1$ , совершенный и температура на соприкасающихся поверхностях  $F_k$ ,  $k = 1, 2, \dots, n-1$ , двух слоёв одинакова. Заданы постоянные коэффициенты теплопроводности  $\lambda_k$ , удельные теплоемкости  $c_k$  и плотности  $\rho_k$  слоёв  $V_k$ ,  $k = 1, 2, \dots, n$ . Поверхность  $F_0$  примем серой, диффузно излучающей и отражающей с коэффициентом поглощения  $A_0$ . Поверхность  $F_n$  положим изотермической с температурой  $T_{F_n}(t)$ , зависящей от времени  $t$

(граничное условие первого рода). Обозначим через  $V_0$  пространство, ограниченное поверхностью  $F_0$ , заполненное однородной ослабляющей средой с температурой  $T_e(t)$  и заданными коэффициентами объёмного поглощения  $\alpha$  и рассеяния  $\beta$  [1]. Кроме того, предположим, что в начальный момент времени  $t = 0$  заданы температуры  $T_{k0}(M_k)$  слоёв  $V_k$ ,  $M_k \in V_k$ ,  $k = 1, 2, \dots, n$ , зависящие лишь от расстояния точки  $M_k$  до центра сферического тела  $V$  (рис. 1).

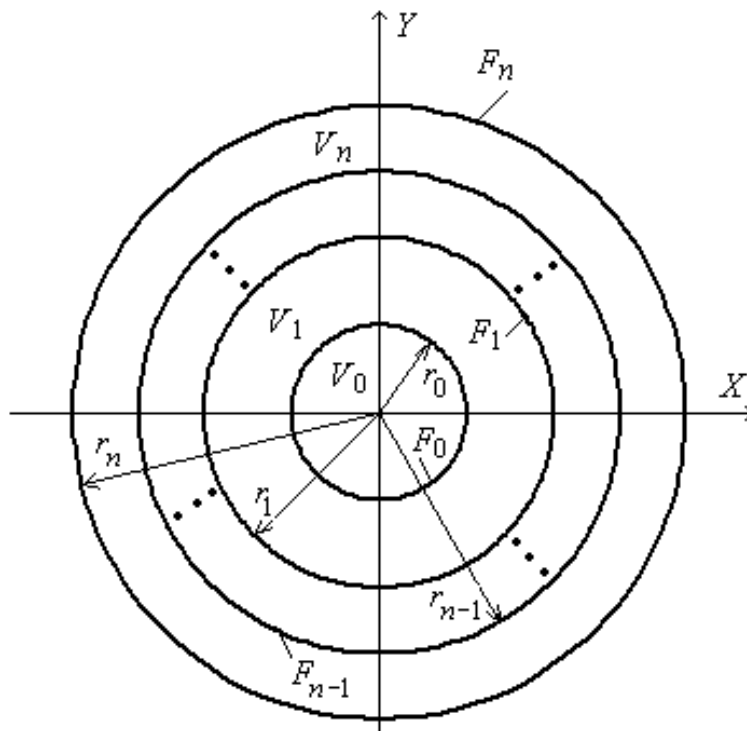


Рис. 1. Схема излучающей системы

Требуется определить на заданном промежутке времени  $0 < t \leq t^*$  нестационарные поля температур  $T_k(M_k, t)$  в слоях  $V_k$ ,  $M_k \in V_k$ ,  $k = 1, 2, \dots, n$ , и нестационарное поле значений плотности объёмного результирующего излучения  $\eta_{\text{рез}}(M_0, t)$  в поглощающей и рассеивающей среде, заполняющей пространство  $V_0$ ,  $M_0 \in V_0$  [2].

Следует заметить, что в силу предположения об отсутствии в теле  $V$  источников (стоков) тепла, функции  $T_k(M_k, t)$  должны удовлетворять неравенствам [3]

$$0 < m_* \leq T_k(M_k, t) \leq m^*, M_k \in V_k, k = 1, 2, \dots, n, 0 \leq t \leq t^*,$$

где  $m_*$  и  $m^*$  – соответственно наименьшее и наибольшее значения заданных в системе температур  $T_e(t)$ ,  $T_{F_n}(t)$ ,  $0 \leq t \leq t^*$ , и  $T_{k0}(M_k)$ ,  $M_k \in V_k$ ,  $k = 1, 2, \dots, n$ .

Математическая постановка задачи в сферической системе координат формулируется следующим образом:

- найти функции  $T_k(r, t)$ , определенные при  $r_{k-1} \leq r \leq r_k$ ,  $0 < t \leq t^*$ ,  $k = 1, 2, \dots, n$ , удовлетворяющие дифференциальным уравнениям теплопроводности

$$\frac{\partial T_k(r, t)}{\partial t} = a_k \left[ \frac{\partial^2 T_k(r, t)}{\partial r^2} + \frac{2}{r} \frac{\partial T_k(r, t)}{\partial r} \right], \quad 0 < r < r_k, \quad 0 < t \leq t^*, \quad k = 1, 2, \dots, n, \quad (1)$$

граничным условиям

$$T_k(r_k, t) = T_{k+1}(r_k, t), \quad 0 < t \leq t^*, \quad k = 1, 2, \dots, n-1, \quad (2)$$

$$\lambda_k \frac{\partial T_k(r_k, t)}{\partial r} = \lambda_{k+1} \frac{\partial T_{k+1}(r_k, t)}{\partial r}, \quad 0 < t \leq t^*, \quad k = 1, 2, \dots, n-1, \quad (3)$$

$$-\lambda_{1\text{рез.0}} \frac{\partial T_1(r_0, t)}{\partial r} = E_{0,1}(t) = A \sigma \left[ T^4(r, t) - T_e^4(t) \right] (\tilde{\Pi}_{0,0} - 1), \quad 0 < t \leq t^*, \quad (4)$$

$$T_n(r_n, t) = T_{F_n}(t), \quad 0 < t \leq t^*, \quad (5)$$

начальным условиям

$$T_k(r, 0) = T_{k0}(r), \quad r_{k-1} \leq r \leq r_k, \quad k = 1, 2, \dots, n, \quad (6)$$

неравенствам

$$0 < m_* \leq T_k(r, t) \leq m^*, \quad k = 1, 2, \dots, n, \quad r_0 \leq r \leq r_n, \quad 0 \leq t \leq t^*; \quad (7)$$

- определить  $\eta_{\text{рез}}(r, t)$  на основании соотношения [2]

$$\eta_{\text{рез}}(r, t) = 4\alpha\sigma_0 \left[ T_1^4(r_0, t) - T_e^4(t) \right] \tilde{\Pi}_{0,0}^{(1)}(r, F_0), \quad 0 \leq r < r_0, \quad 0 \leq t < t^*. \quad (8)$$

Здесь  $E_{\text{рез.0}}$  – поверхностная плотность результирующего излучения [2];

$$a_k = \frac{\lambda_k}{c_k \rho_k} \quad \text{– коэффициент температуропроводности сферического слоя}$$

$V_k$ ;

$\sigma_0$  – постоянная Стефана-Больцмана;

$\tilde{\Pi}_{0,0}$  – вероятность перехода излучения от произвольной единичной площадки на оптически и энергетически однородной поверхностной зоне  $F_0$  и поглощения его этой зоной [4];

$\tilde{\Pi}_{0,0}^{(1)}(r, F_0)$  – вероятность перехода излучения от единичного элемента объема в точке с координатой  $r$  оптически и энергетически однородной объемной зоны  $V_0$  и его поглощения поверхностной зоной  $F_0$  [4].

Вероятности  $\tilde{\Pi}_{0,0}$  и  $\tilde{\Pi}_{0,0}^{(1)}(r, F_0)$  находятся с помощью обобщенного зонального метода [5] с использованием расчётных формул и выражений, полученных в [6].

Задачу (1)-(8) удобно представить в безразмерном виде

$$\frac{\partial \theta_k(\xi, \tau)}{\partial \tau} = v_k \left[ \frac{\partial^2 \theta_k(\xi, \tau)}{\partial \xi^2} + \frac{2}{\xi} \frac{\partial \theta_k(\xi, \tau)}{\partial \xi} \right], \quad \xi_{k-1} < \xi < \xi_k, \quad 0 < \tau \leq \tau^*, \quad (9)$$

$$k = 1, 2, \dots, n,$$

$$\theta_k(\xi_k, \tau) = \theta_{k+1}(\xi_k, \tau), \quad 0 < \tau \leq \tau^*, \quad k = 1, 2, \dots, n-1, \quad (10)$$

$$\delta_k \frac{\partial \theta_k(\xi_k, \tau)}{\partial \xi} = \delta_{k+1} \frac{\partial \theta_{k+1}(\xi_k, \tau)}{\partial \xi}, \quad 0 < \tau \leq \tau^*, \quad k = 1, 2, \dots, n-1, \quad (11)$$

$$-\frac{\partial \theta_1(\xi_0, \tau)}{\partial \xi} = e_{\text{рез},0}(\tau) = N_0 \left[ \theta_1^4(\xi_0, \tau) - \theta_e^4(\tau) \right] (\bar{\Pi}_{0,0} - 1), \quad 0 < \tau \leq \tau^*, \quad (12)$$

$$\theta_n(\xi_n, \tau) = \theta_n(1, \tau) = \theta_{F_n}(\tau), \quad 0 < \tau \leq \tau^*, \quad (13)$$

$$\theta_k(\xi, 0) = \theta_{k0}(\xi), \quad \xi_{k-1} \leq \xi \leq \xi_k, \quad k = 1, 2, \dots, n, \quad (14)$$

$$0 \leq \theta_k(\xi, \tau) \leq \xi_{k-1} \leq \xi \leq \xi_k, \quad 0 \leq \tau \leq \tau^*, \quad k = 1, 2, \dots, n \quad (15)$$

$$q_{\text{рез}}(\xi, \tau) = \left[ \theta_1^4(\xi_0, \tau) - \theta_e^4(\tau) \right] \bar{\Pi}^{(1)}(\xi, F_0), \quad 0 \leq \xi < \xi_0, \quad 0 \leq \tau \leq \tau^*, \quad (16)$$

где  $\theta = \frac{T}{m^*}, \quad \xi = \frac{r}{r_n}, \quad \tau = \frac{a_1 t}{r_n^2}, \quad v_k = \frac{a_k}{a_1}, \quad \delta_k = \frac{\lambda_k}{\lambda_1}, \quad N_0 = \frac{A_0 \sigma_0 r_n m^{*3}}{\lambda_1}, \quad \mu = \frac{m_*}{m^*},$

$$e_{\text{рез},0} = \frac{E_{\text{рез},0} r_n}{\lambda_1 m^*}, \quad q_{\text{рез}} = \frac{\eta_{\text{рез}}}{4 \alpha \sigma_0 m^{*4}}.$$

**Вторая постановка задачи.** Вторая постановка задачи характеризуется заданием на поверхности  $F_n$  граничного условия второго рода, а именно, предположим, что поверхность  $F_n$  является адиабатической. В этом случае математическая постановка задачи определения нестационарных распределений температур в сферических слоях  $V_k, k = 1, 2, \dots, n$ , приводится к решению дифференциальных уравнений (9) при граничных условиях (10)-(12) и граничном условии

$$\frac{\partial \theta_n(1, \xi)}{\partial \xi} = 0, \quad 0 < \tau \leq \tau^* \quad (17)$$

при начальных условиях (14) и ограничениях (15).

**Третья постановка задачи.** Предположим, что на поверхности  $F_n$  происходит радиационный теплообмен с поглощающей средой, температура которой равна  $T_s(t)$  (граничное условие третьего рода). Поверхность  $F_n$  примем серой, диффузно излучающей и отражающей с заданным коэффициентом поглощения  $A_n$ .

В таком случае математическая постановка задачи определения нестационарных полей температур в сферических слоях  $V_k$ ,  $k = 1, 2, \dots, n$ , формулируется следующим образом: найти решения  $\theta_k(\xi, \tau)$ ,  $k = 1, 2, \dots, n$ , дифференциальных уравнений (9) при граничных условиях (10)-(12) и граничном условии [2]

$$\frac{\partial \theta_n(1, \tau)}{\partial \xi} = e_{\text{рез.}n}(\tau) = N_n \left[ \theta_s^4(\tau) - \theta_n^4(1, \tau) \right], \quad 0 < \tau \leq \tau^*, \quad (18)$$

при начальных условиях (14) и ограничениях (15).

**Для решения сформулированных задач** воспользуемся методом конечных разностей, предложенным в [7], и методом последовательных двусторонних приближений [3].

**Первая постановка задачи.** На основании изложенного в работе [3] представим граничное условие (12) в виде

$$-\frac{\partial \theta_1(\xi_0, \tau)}{\partial \xi} + 4N_0 \theta_1(\xi_1, \tau) = N_0 \theta_1^4(\xi_1, \tau) - \theta_1^4(\tau) \quad \text{при } \xi_1 = 0, \tau = \tau^* \quad (19)$$

$$0 \leq \tau \leq \tau^*$$

Введём на множестве  $\xi_0 \leq \xi \leq 1$ ,  $0 \leq \tau \leq \tau^*$  сетку  $\xi_{k,i} = \xi_{k-1} + i\Delta\xi_k$ ,

$\tau_j = j\Delta\tau$ ,  $i = 0, 1, \dots, L_k$ ,  $k = 1, 2, \dots, n$ , с шагами  $\Delta\xi_k = \frac{\xi_k - \xi_{k-1}}{L_k}$ ,  $\Delta\tau = \frac{\tau^*}{L_0}$ . При этом

целые числа  $L_k$ ,  $k = 1, 2, \dots, n$ , удобно полагать четными. Принимая  $\theta_{k,i}(\tau_j) = \theta_k(\xi_i, \tau_j)$ , построим на основании [7] разностную аппроксимацию задачи (9)-(11), (19), (13)-(15) и для решения полученной разностной задачи воспользуемся итерационным процессом

$$\frac{\theta_{k,i}^{(l)}(\tau_{j+1}) - \theta_{k,i}^{(l)}(\tau_j)}{\Delta\tau} = v_k \left[ \frac{\theta_{k,i+1}(\tau_j) - 2\theta_{k,i}(\tau_j) + \theta_{k,i-1}(\tau_j)}{(\Delta\xi_k)^2} + \frac{2(\theta_{k,i+1}(\tau_j) - \theta_{k,i}(\tau_j))}{\xi_i \Delta\xi_k} \right], \quad (20)$$

если  $0 < i < L_k$ ,  $k = 1, 2, \dots, n$ ,  $0 \leq j < L_0$ ,  $i + j + k$  – нечетное число;

$$\frac{\theta_{k,i}^{(l)}(\tau_{j+1}) - \theta_{k,i}^{(l)}(\tau_j)}{\Delta\tau} = v_k \left[ \frac{\theta_{k,i+1}^{(l)}(\tau_{j+1}) - 2\theta_{k,i}^{(l)}(\tau_{j+1}) + \theta_{k,i-1}^{(l)}(\tau_{j+1})}{(\Delta\xi_k)^2} + \frac{2(\theta_{k,i+1}^{(l)}(\tau_{j+1}) - \theta_{k,i}^{(l)}(\tau_{j+1}))}{\xi_i \Delta\xi_k} \right], \quad (21)$$

если  $0 < i < L_k$ ,  $k = 1, 2, \dots, n$ ,  $0 \leq j < L_0$ ,  $i + j + k$  – четное число;

$$\theta_{k,L_k}^{(l)}(\tau_{j+1}) = \theta_{k+1,0}^{(l)}(\tau_{j+1}), \quad k = 1, 2, \dots, n-1, \quad 0 \leq j < L_0, \quad (22)$$

$$\delta_k \frac{\theta_{k,L_k}^{(l)}(\tau_{j+1}) - \theta_{k,L_k-1}^{(l)}(\tau_{j+1})}{\Delta \xi_k} = \delta_{k+1} \frac{\theta_{k+1,1}^{(l)}(\tau_{j+1}) - \theta_{k+1,0}^{(l)}(\tau_{j+1})}{\Delta \xi_{k+1}}, \quad (23)$$

$$k = 1, 2, \dots, n-1, 0 \leq j < L_0,$$

$$\frac{\theta_{1,0}^{(l)}(\tau_{j+1}) - \theta_{1,1}^{(l)}(\tau_{j+1})}{\Delta \xi_1} + 4\omega_0 \left( \begin{matrix} l \\ 1,0 \end{matrix} \right)_{j+1} = N_0 \theta \left[ \begin{matrix} (l-1) \\ 1,0 \end{matrix} \right]_{j+1} \theta \left( \begin{matrix} l \\ e \end{matrix} \right)_{j+1} \Pi \left( \begin{matrix} \square \\ 0, d- \end{matrix} \right) +$$

$$+ 4\theta_{1,0}^{(l-1)}(\tau_{j+1}), \quad 0 \leq j < L_0, \quad (24)$$

$$\theta_{n,L_n}^{(l)}(\tau_{j+1}) = \theta_{n,L_n}(\tau_{j+1}) = \theta_{F_n}(\tau_{j+1}), \quad 0 \leq j < L_0, \quad (25)$$

$$\theta_{k,i}^{(l)}(0) = \theta_{k,i}(0) = \theta_{k0,i}, \quad 0 \leq i \leq L_k, \quad k = 1, 2, \dots, n. \quad (26)$$

Обозначим

$$\gamma_k = \frac{v_k \Delta \tau}{(\Delta \xi_k)^2}, \quad \omega_k = \frac{\delta_{k+1} \Delta \xi_k}{\delta_k \Delta \xi_{k+1}}, \quad \gamma_{k,i} = \frac{2v_k \Delta \tau}{\xi_i \Delta \xi_k}, \quad 0 < i < L_k, \quad k = 1, 2, \dots, n.$$

На основании (20)-(26) находим

$$\theta_{k,i}^{(l)}(\tau_{j+1}) = \theta_{k,i}(\tau_{j+1}) = \gamma_k \theta_{k,i-1}(\tau_j) + (1 - 2\gamma_k - \gamma_{k,i}) \theta_{k,i}(\tau_j) +$$

$$+ (\gamma_k + \gamma_{k,i}) \theta_{k,i+1}(\tau_j), \quad (27)$$

если  $0 < i < L_k, k = 1, 2, \dots, n, 0 \leq j < L_0, i + j + k$  – нечетное число;

$$\theta_{k,i}^{(l)}(\tau_{j+1}) = \theta_{k,i}(\tau_{j+1}) = \frac{\theta_{k,i}(\tau_j) + \gamma_k \theta_{k,i-1}(\tau_{j+1}) + (\gamma_k + \gamma_{k,i}) \theta_{k,i+1}(\tau_{j+1})}{1 + \gamma_{k,i}}, \quad (28)$$

если  $1 < i < L_k, i_k = L_k - 1, k = 1, 2, \dots, n-1, i_n = L_n, i + j + k$  – четное число;

$$\theta_{k,L_k}^{(l)}(\tau_{j+1}) = \theta_{k,L_k}(\tau_{j+1}) = \quad (29)$$

$$= \frac{\left( 1 + \gamma_{k+1} \right) \theta_{k,L_k}(\tau_{j+1}) \oplus \theta_{k+1,1} \left[ \begin{matrix} l \\ k+1,1 \end{matrix} \right]_j \gamma \left( \begin{matrix} l \\ k+1,1 \end{matrix} \right) \theta_{k+1,1}(\tau_{j+1})}{1 + \gamma_{k+1} \oplus \frac{1}{k} \left( \gamma_{k+1} \gamma_{k+1,1} \right)},$$

$$\theta_{k+1,1}^{(l)}(\tau_{j+1}) = \theta_{k+1,1}(\tau_{j+1}) =$$

$$= \frac{\gamma_{k+1} \theta_{k,L_k-1}(\tau_{j+1}) + (1 + \omega_k) \left[ \theta_{k+1,1}(\tau_j) + (\gamma_{k+1} + \gamma_{k+1,1}) \theta_{k+1,2}(\tau_{j+1}) \right]}{1 + \gamma_{k+1} \oplus \frac{1}{k} \left( \gamma_{k+1} \gamma_{k+1,1} \right)}, \quad (30)$$

если  $k + j$  – четное число,  $k = 1, 2, \dots, n-1, 0 \leq j < L_0$ ;

$$\theta_{k,L_k-1}^{(l)}(\tau_{j+1}) = \theta_{k,L_k-1}(\tau_{j+1}) =$$

$$= \frac{\left( 1 \oplus \frac{1}{k} \right) \left[ \theta_{k,L_k}(\tau_j) \gamma \theta_{k,L_k}(\tau_{j+1}) \right] \oplus \frac{1}{k} \left( \gamma_{k,L_k-1} \right) \theta_{k+1,1}(\tau_{j+1})}{1 \gamma_{k,L_k-1} \oplus \frac{1}{k} \left( 2\gamma_{k,L_k-1} \right)}, \quad (31)$$

$$\theta_{k,L_k}^{(l)}(\tau_{j+1}) = \theta_{k,L_k}(\tau_{j+1}) = \frac{\omega_k \left(1 + 2\gamma_k + \gamma_{k,L_k-1}\right) \theta_{k+1,1}(\tau_{j+1}) + \gamma_k \theta_{k,L_k-2}(\tau_{j+1}) + \theta_{k,L_k-1}(\tau_j)}{1 - \gamma_k - \gamma_{k,L_k-1}}, \quad (32)$$

если  $k + j$  – нечетное число,  $k = 1, 2, \dots, n-1$ ,  $0 \leq j < L_0$ ;

$$\theta_{1,0}^{(l)}(\tau_{j+1}) = \frac{\theta_{1,1}(\tau_{j+1}) + \Delta \xi_1 f_0^{(l-1)}(\tau_{j+1})}{1 + \Delta \xi_1 N_0}, \quad (33)$$

если  $j$  – нечетное число,  $0 \leq j < L_0$ ;

$$\theta_{1,0}^{(l)}(\tau_{j+1}) = \frac{\theta_{1,1}(\tau_j) + (\gamma_1 + \gamma_{1,1}) \theta_{1,2}(\tau_{j+1}) + (1 + 2\gamma_1 + \gamma_{1,1}) \Delta \xi_1 f_0^{(l-1)}(\tau_{j+1})}{1 - \gamma_1 - \gamma_{1,1} - \Delta \xi_1}, \quad (34)$$

$$\theta_{1,1}^{(l)}(\tau_{j+1}) = \frac{(1 + \Delta \xi_1 N_0) \theta_{1,1}(\tau_j) + (\gamma_1 + \theta_{1,1}(\tau_{1,2})) \theta_{1,2}(\tau_{j+1}) + \Delta \xi_1 f_0^{(l-1)}(\tau_{j+1})}{1 - \gamma_1 - \gamma_{1,1} - \Delta \xi_1}, \quad (35)$$

если  $j$  – четное число,  $0 \leq j < L_0$ .

В выражениях (33)-(35) использовано обозначение

$$f_0^{(l-1)}(\tau_{j+1}) = N_0 \left\{ \left[ \theta_{1,0}^{(l-1)}(\tau_{j+1}) - \theta_e^{(l-1)}(\tau_{j+1}) \right] (\bar{H}_{0,0} - 1) + 4\theta_{1,0}^{(l-1)}(\tau_{j+1}) \right\}.$$

Полагая начальное приближение  $\theta_{1,0}^{(0)}(\tau_{j+1})$  сначала равным  $\mu$

$$\theta_{1,0}^{(0)}(\tau_{j+1}) = \theta_{*1,0}^{(0)}(\tau_{j+1}) = \mu, \quad (36)$$

а затем, принимая  $\theta_{1,0}^{(0)}(\tau_{j+1})$  равным 1

$$\theta_{1,0}^{(0)}(\tau_{j+1}) = \theta_{*1,0}^{*(0)}(\tau_{j+1}) = 1, \quad (37)$$

получим на основании соотношений (27)-(35) при  $2\gamma_k + \gamma_{k,i} < 1$ ,  $0 < i < L_k$ ,  $k = 1, 2, \dots, n$ , соответственно неубывающие  $\theta_{*k,i}^{(l)}(\tau_{j+1})$  и невозрастающие  $\theta_{k,i}^{*(l)}(\tau_{j+1})$ ,  $0 \leq i \leq L_k$ ,  $k = 1, 2, \dots, n$ ,  $l = 1, 2, \dots$ , последовательности приближений, сходящиеся к единственному решению  $\theta_{k,i}(\tau_{j+1})$ ,  $0 \leq i \leq L_k$ ,  $k = 1, 2, \dots, n$ , разностной задачи [2, 8].

В качестве приближенного решения этой задачи примем

$$\theta_{k,i}(\tau_{j+1}) \approx \frac{1}{2} \left[ \theta_{k,i}^{*(l)}(\tau_{j+1}) + \theta_{*k,i}^{(l)}(\tau_{j+1}) \right], \quad (38)$$

где нижние  $\theta_{*k,i}^{(l)}(\tau_{j+1})$  и верхние  $\theta_{k,i}^{*(l)}(\tau_{j+1})$  последовательные приближения выбираем из условия

$$\left[ \theta_{k,i}^{*(l)}(\tau_{j+1}) - \theta_{*k,i}^{(l)}(\tau_{j+1}) \right] < \varepsilon, \quad 0 \leq i \leq L_k, \quad k = 1, 2, \dots, n, \quad (39)$$

для заданного достаточно малого числа  $\varepsilon > 0$ .

**Вторая постановка задачи.** В этом случае, применяя к решению разностной задачи, аппроксимирующей задачу (9)-(12), (17), (14), (15), рассмотренный выше итерационный процесс, приходим к формулам, аналогичным (26)-(35), а также к соотношениям

$$\theta_{n,L_n}^{(l)}(\tau_{j+1}) = \theta_{n,L_n}(\tau_{j+1}) = \theta_{n,L_n-1}(\tau_{j+1}),$$

если  $j+n$  – четное число,  $0 \leq j < L_0$ ;

$$\theta_{n,L_n-1}^{(l)}(\tau_{j+1}) = \theta_{n,L_n-1}(\tau_{j+1}) = \frac{\theta_{n,L_n-1}(\tau_j) + \gamma_n \theta_{n,L_n-2}(\tau_{j+1})}{1 + \gamma_n},$$

$$\theta_{n,L_n}^{(l)}(\tau_{j+1}) = \theta_{n,L_n-1}(\tau_{j+1}),$$

если  $j+n$  – нечетное число,  $0 \leq j < L_0$ .

Решение  $\theta_{k,i}(\tau_{j+1})$ ,  $0 \leq i \leq L_k$ ,  $k=1,2,\dots,n$ , разностной задачи находим приближенно по формуле (38) при условии (39).

**Третья постановка задачи.** Последовательные приближения  $\theta_{k,i}^{(l)}(\tau_{j+1})$ , найденные в результате решения соответствующей разностной задачи, определяются выражениями, аналогичными (26)-(35), а также формулами

$$\theta_{n,L_n}^{(l)}(\tau_{j+1}) = \frac{\theta_{n,L_n-1}(\tau_{j+1}) + \Delta \xi_n f_n^{(l-1)}(\tau_{j+1})}{1 + \Delta \xi_n},$$

если  $j+n$  – четное число,  $0 \leq j < L_0$ ;

$$\theta_{n,L_n-1}^{(l)}(\tau_{j+1}) = \frac{(1 + \Delta \xi_n) \theta_{n,L_n-1}(\tau_j) + \gamma_n \theta_{n,L_n-2}(\tau_{j+1}) + (\gamma_n + \Delta \xi_n) f_n^{(j-1)}(\tau_{j+1})}{1 + \Delta \xi_n + \gamma_n (2\gamma_n + \gamma_{n,L_n-1})},$$

$$\theta_{n,L_n}^{(l)}(\tau_{j+1}) = \frac{\theta_{n,L_n-1}(\tau_j) + (1 + 2\gamma_n + \gamma_{n,L_n-1}) \Delta \xi_n f_n^{(l-1)}(\tau_{j+1}) + \gamma_n \theta_{n,L_n-2}(\tau_{j+1})}{1 + \Delta \xi_n + \gamma_n (2\gamma_n + \gamma_{n,L_n-1})},$$

если  $j+n$  – нечетное число,  $0 \leq j < L_0$ .

Здесь использовано обозначение

$$f_n^{(l-1)}(\tau_{j+1}) = N_n \left[ \theta_s^4(\tau_{j+1}) - \theta_{n,L_n}^{(l-1)4}(\tau_{j+1}) + 4\theta_{n,L_n}^{(l-1)}(\tau_{j+1}) \right].$$

Приближенное решение  $\theta_{k,i}(\tau_{j+1})$ ,  $0 \leq i \leq L_k$ ,  $k=1,2,\dots,n$ , разностной задачи определяем по формуле (38) при условии (39) в предположении, что

$$\theta_{*1,0}^{(0)}(\tau_{j+1}) = \theta_{*n,L_n}^{(0)}(\tau_{j+1}) = \mu, \quad \theta_{1,0}^{*(0)}(\tau_{j+1}) = \theta_{n,L_n}^{(0)}(\tau_{j+1}) = 1.$$

## Результаты численных исследований

Рассматривалась трехслойная сферическая система со следующими параметрами:  $\xi_0 = 0,6$ ,  $\xi_1 = 0,8$ ,  $\xi_3 = 1$ ,  $L_1 = L_2 = L_3 = 8$ ,  $\theta_s = 1$ ,  $\theta_e = 0,5$ ,  $\theta_{F_3} = 1$ ,  $\theta_{10} = 0,4$ ,  $\theta_{20} = 0,8$ ,  $\theta_{30} = 0,6$ ,  $\mu = 0,4$ ,  $N_0 = N_3 = 1$ .

Число Бугера  $Bu = (\alpha + \beta)r_3$ , характеризующее оптическую плотность ослабляющей среды, заполняющей пространство  $V_0$ , принималось равным 1, а параметр  $p = \frac{\beta}{\alpha + \beta}$ , характеризующий рассеяние среды, предполагался равным 0,5. Кроме того, точность расчётов  $\epsilon$  полагалась равной 0,001, шаг по времени  $\Delta t$  выбирался экспериментально из условия сходимости итерационного процесса.

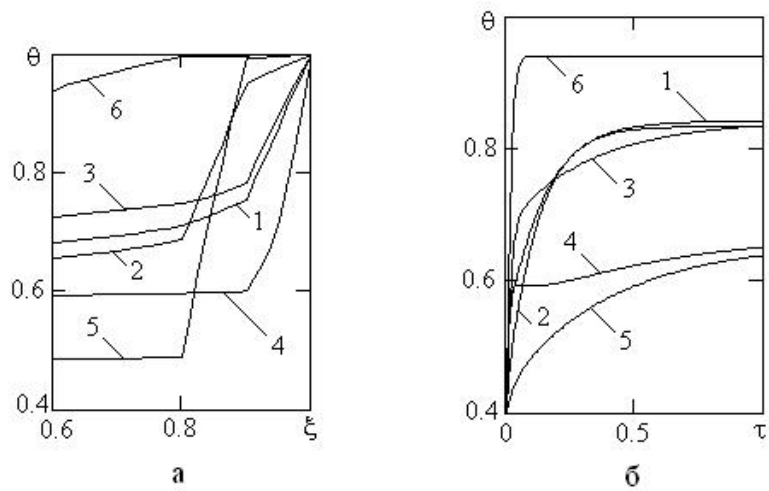
Результаты расчётов представлены на рис. 2-7 в виде соответствующих графических зависимостей 1-6, полученных для следующих значений исходных данных:

- 1)  $v_1 = 1$ ,  $v_2 = 0,5$ ,  $v_3 = 0,1$ ,  $\delta_1 = 1$ ,  $\delta_2 = 0,5$ ,  $\delta_3 = 0,1$ ;
- 2)  $v_1 = 1$ ,  $v_2 = 0,1$ ,  $v_3 = 0,5$ ,  $\delta_1 = 1$ ,  $\delta_2 = 0,1$ ,  $\delta_3 = 0,5$ ;
- 3)  $v_1 = 1$ ,  $v_2 = 0,1$ ,  $v_3 = 0,5$ ,  $\delta_1 = 1$ ,  $\delta_2 = 0,5$ ,  $\delta_3 = 0,1$ ;
- 4)  $v_1 = 1$ ,  $v_2 = 0,5$ ,  $v_3 = 0,01$ ,  $\delta_1 = 1$ ,  $\delta_2 = 0,5$ ,  $\delta_3 = 0,01$ ;
- 5)  $v_1 = 1$ ,  $v_2 = 0,01$ ,  $v_3 = 0,5$ ,  $\delta_1 = 1$ ,  $\delta_2 = 0,01$ ,  $\delta_3 = 0,5$ ;
- 6)  $v_1 = 1$ ,  $v_2 = 10$ ,  $v_3 = 5$ ,  $\delta_1 = 1$ ,  $\delta_2 = 10$ ,  $\delta_3 = 5$ .

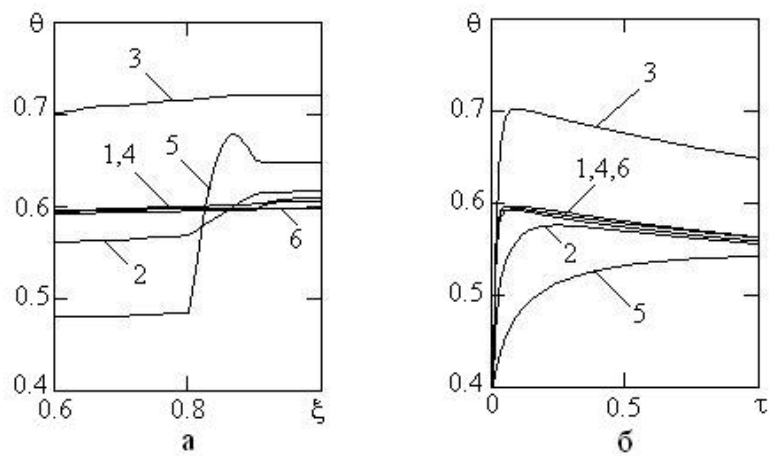
Кривые на рис. 2а-4а изображают распределения температуры по толщине трехслойной сферической системы  $V$  в момент времени  $\tau = 0,1$ , а кривые на рис. 2б-4б показывают зависимости от времени температуры поверхности  $F_0$ .

Графики, представленные на рис. 5а-7а, иллюстрируют распределения значений плотности объёмного результирующего излучения по толщине ослабляющей среды, заполняющей пространство  $V_0$ , в момент времени  $\tau = 0,1$ , а графики на рис. 5б-7б изображают зависимости от времени значений плотности объёмного результирующего излучения в центре сферической системы.

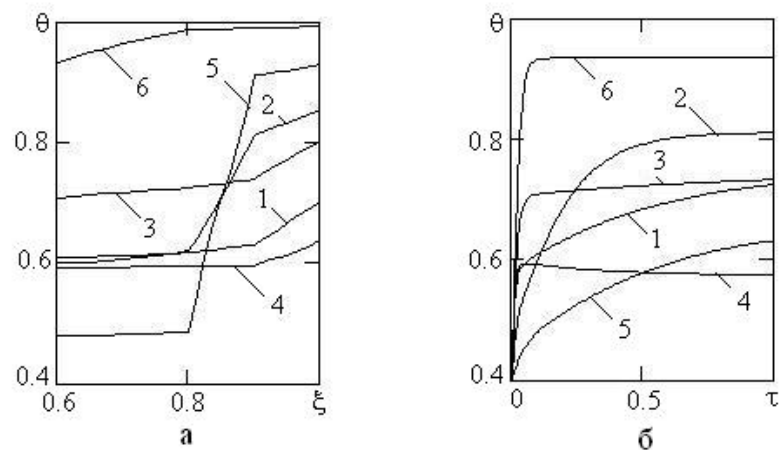
В заключение заметим, что все вычисления и построения графиков выполнены с использованием многофункционального пакета инженерных расчётов MathCAD 12.0.



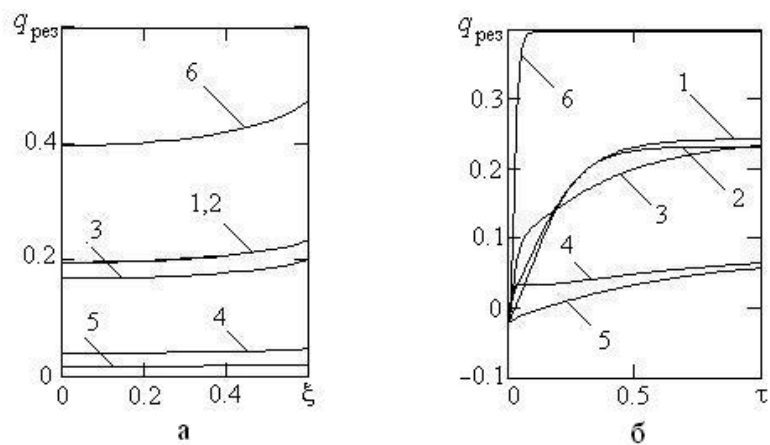
**Рис. 2.** Распределения температур в сферической системе (первая постановка задачи)



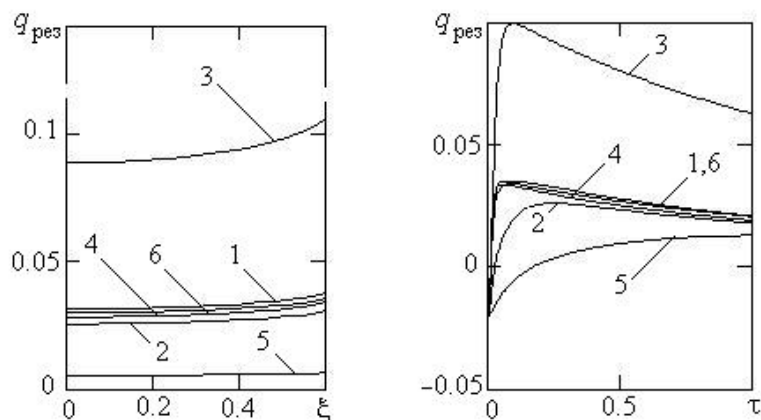
**Рис. 3.** Распределения температур в сферической системе (вторая постановка задачи)



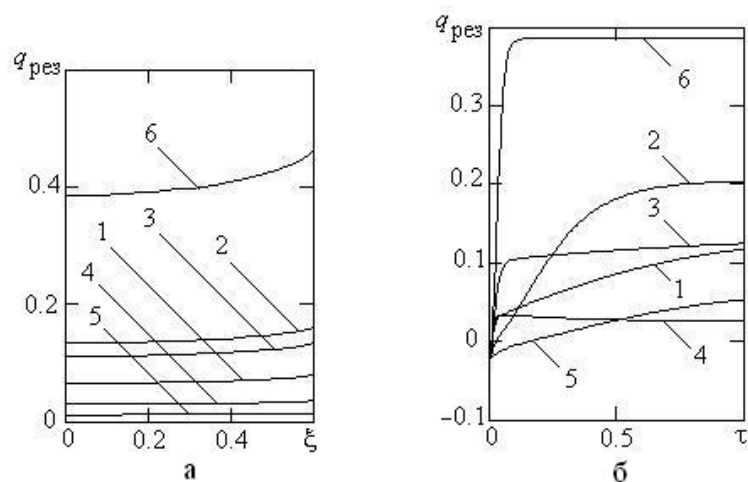
**Рис. 4.** Распределения температур в сферической системе (третья постановка задачи)



**Рис. 5.** Распределения плотности объёмного результирующего излучения (первая постановка задачи)



**Рис. 6.** Распределения плотности объёмного результирующего излучения (вторая постановка задачи)



**Рис. 7.** Распределения плотности объёмного результирующего излучения (третья постановка задачи)

## Выводы

Численно решена нестационарная задача о радиационно-кондуктивном теплообмене в системе, ограниченной многослойным теплопроводным телом сферической формы и заполненной поглощающей и рассеивающей средой. Рассмотрены три постановки задачи, характеризующиеся различными способами задания граничных условий.

Изложен новый подход к решению, основанный на совместном использовании обобщенного зонального метода, метода конечных разностей и метода последовательных двусторонних приближений. С помощью полученных расчётных формул и выражений выполнены численные исследования нестационарного поля температур в трехслойной сферической системе и поля значений плотности объёмного результирующего излучения в ослабляющей среде, заполняющей систему. Результаты расчётов представлены в виде многочисленных графических зависимостей.

Полученные расчётные соотношения и графические зависимости могут быть использованы для решения актуальных проблем противопожарной защиты объектов различного назначения.

## Литература

1. *Зигель Р., Хауэлл Дж.* Теплообмен излучением. М.: Мир, 1975. 934 с.
2. *Суринов Ю.А.* К теории переноса излучения и лучистого теплообмена в поглощающей и рассеивающей среде // Известия АН СССР. Энергетика и транспорт. 1966. № 6. С. 127-153.
3. *Рубцов В.В., Суринов Ю.А.* О методах решения нестационарных задач теории радиационно-кондуктивного теплообмена // Журнал вычисл. математ. и математ. физики. 1989. Т.29. № 11. С. 1705-1713.
4. *Суринов Ю.А.* О некоторых вопросах стохастической теории переноса излучения и радиационного теплообмена // Изв. вуз.Черная металлургия. 1992. № 5. С. 76-81.
5. *Суринов Ю.А.* Обобщенный зональный метод исследования и расчёта лучистого теплообмена в поглощающей и рассеивающей среде // Известия АН СССР. Энергетика и транспорт. 1975. № 4. С. 112-137.
6. *Рубцов В.В.* Стационарный радиационно-кондуктивный теплообмен в системе из двух теплопроводных концентрических сферических тел, разделенных ослабляющей средой // Изв. вуз.Черная металлургия. 2009. № 3. С. 42-46.
7. *Gourlay A.R.* Hopscotch a Fast Second – Order Partial Differential Equation Solver // J. Inst. Math. Appl. 1970. V. 6. Pp. 375-390.
8. *Рубцов В.В.* Нестационарный радиационно-кондуктивный теплообмен в системе, ограниченной теплопроводным сферическим телом и заполненной ослабляющей средой // Вестник научно-технического развития. № 12 (64). 2012. С. 17-25. <http://www.vntr.ru>